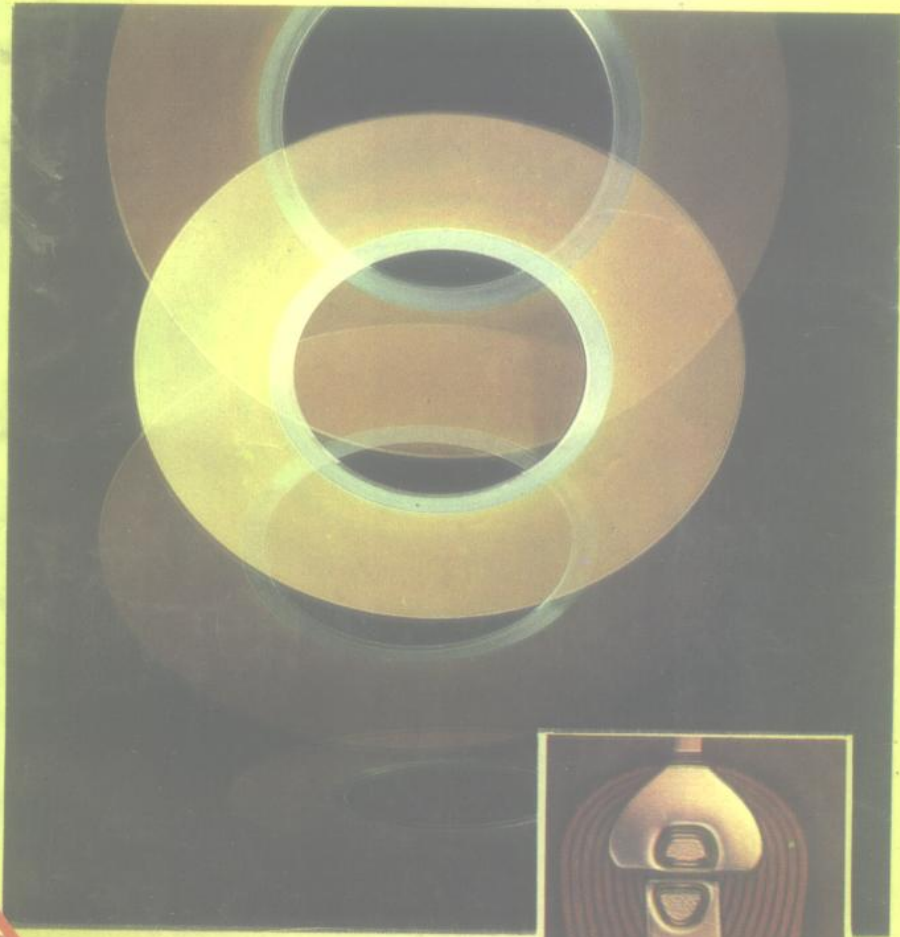


章吉良 编



# 磁记录 原理与技术

上海交通大学出版社

TQ 581

359750

乙16

# 磁记录原理与技术

章吉良 编

上海交通大学出版社

## 内 容 提 要

本书的主要内容包括感应式磁头磁场分布、记录(写入)过程、重放(读出)过程、垂直磁记录、记录介质、磁头和磁头材料等。对最近发展的薄膜介质、薄膜磁头和垂直记录方式也作了较详细的介绍。

本书可作为高等院校计算机外部设备、磁记录设备专业的参考书，也可供该领域的工程技术人员参考。

74.7.6

### 磁记录原理与技术

出 版: 上海交通大学出版社  
(淮海中路1984弄19号)  
发 行: 新华书店上海发行所  
印 刷: 常熟文化印刷厂  
开 本: 787×1092(毫米) 1/32  
印 张: 10.125  
字 数: 227000  
版 次: 1990年11月 第一版  
印 数: 1990年12月 第一次  
印 数: 1—1350  
科 目: 233—304  
ISBN 7-313-00733-7/O·44

定 价: 2.15 元



## 序

当前的信息社会，迫切需要高密度、大容量、小体积、低成本的信息存贮设备。就磁记录产品而言，1989年世界总产值已超过500亿美元。我国的磁记录事业虽然起步较晚，但发展较快，特别是改革开放以来，发展尤为迅速。可以预言，到本世纪末，我国磁记录的科研和生产水平一定会有一个大幅度的提高。

国际上磁记录技术的发展可谓日新月异，薄膜磁头、薄膜磁盘等高密度产品已商品化，垂直磁记录方式也已开始实用化。目前，国内虽已出版了一些质量很好的介绍磁记录原理与技术方面的书，对提高我国的磁记录技术起到了极大的推动作用，但真正能详细反映最新技术的书还是不多见的。

章吉良同志根据自己的教学、科研实践撰写而成的本书除了介绍磁记录的一般原理和技术之外，对最新技术，如薄膜磁头的结构和制备工艺、薄膜介质的制备、垂直磁记录方式等，也作了较大篇幅的介绍，因此本书具有一定的先进性。此外，由于作者本身具有

一定的实际经验，因而所介绍的内容也颇具实用性。  
谅本书的出版会受到同行们的欢迎。

中国科学院学部委员、  
上海交通大学教授 沈天慧

1990年7月

# 目 录

## 1. 概 论

<b>1.1 磁学基础</b> .....	1
1.1.1 物质的磁性 .....	1
1.1.2 铁磁性物质的磁化特性 .....	2
<b>1.2 磁记录发展历史</b> .....	9
<b>1.3 磁记录的特点</b> .....	14
1.3.1 磁记录的基本过程 .....	14
1.3.2 介质结构 .....	15
1.3.3 磁头结构 .....	16
1.3.4 记录方式 .....	17
<b>1.4 磁记录基础</b> .....	18
1.4.1 记录场 .....	18
1.4.2 介质的各向异性 .....	21
1.4.3 纵向记录 .....	21
1.4.4 垂直记录 .....	23
1.4.5 重放 .....	24

## 2. 感应式磁头的磁场分布

<b>2.1 磁头类型</b> .....	27
<b>2.2 磁路</b> .....	29

2.2.1	有缝隙的磁路 .....	30
2.2.2	记录磁头的漏磁通 .....	30
2.2.3	磁头线圈的电感 .....	32
<b>2.3</b>	<b>磁头磁场的理论计算 .....</b>	<b>33</b>
2.3.1	安培环路定律 .....	34
2.3.2	卡尔奎斯特方程 .....	38
2.3.3	从间隙两端磁荷求磁场 .....	46
2.3.4	计算磁头磁场的其他方法 .....	48
2.3.5	有限极尖长度磁头的磁场分布 .....	57
<b>2.4</b>	<b>磁头磁场的实验验证 .....</b>	<b>68</b>
2.4.1	直接测量方法 .....	68
2.4.2	电场模拟法 .....	70

### 3. 记录(写入)过程

<b>3.1</b>	<b>标量磁化的近似记录理论 .....</b>	<b>75</b>
3.1.1	正弦信号的无偏磁记录 .....	75
3.1.2	数字信号的记录 .....	84
<b>3.2</b>	<b>介质中的自退磁场 .....</b>	<b>90</b>
3.2.1	自退磁场的计算 .....	90
3.2.2	正弦磁化自退磁场的计算 .....	92
3.2.3	数字信号自退磁场的计算 .....	97
<b>3.3</b>	<b>自相一致磁化 .....</b>	<b>106</b>

### 4. 重放(读出)过程

<b>4.1</b>	<b>各种物理效应 .....</b>	<b>118</b>
------------	---------------------	------------

<b>4.2 重放(读出)理论基础</b>	120
<b>4.3 环形磁头的重放</b>	124
<b>4.4 输出电压</b>	127
4.4.1 正弦波记录	127
4.4.2 脉冲记录	131
4.4.3 有限极尖长度磁头的重放过程	142
<b>4.5 输出脉冲的对称性和脉冲叠加</b>	144

## 5. 垂直磁记录

<b>5.1 纵向磁记录在高密度时遇到的困难</b>	155
5.1.1 纵向磁记录的圆形磁化模式	155
5.1.2 纵向磁记录在高密度时遇到的困难	163
<b>5.2 垂直磁记录</b>	166
5.2.1 三种记录模式及其特性	166
5.2.2 垂直磁记录磁头的磁场分布	170
5.2.3 磁头与介质的互作用	179
5.2.4 垂直磁记录的非线性记录过程	183
5.2.5 垂直磁记录的再生过程	187

## 6. 记录介质

<b>6.1 颗粒状介质</b>	197
6.1.1 磁性能要求	197
6.1.2 非磁性能要求	202
6.1.3 磁性材料	203
6.1.4 颗粒状介质的优缺点	214

<b>6.2 薄膜介质</b>	217
6.2.1 薄膜介质的应用	217
6.2.2 薄膜的磁性能	219
6.2.3 薄膜材料和工艺	228
6.2.4 寿命	242

## 7. 磁头及磁头材料

<b>7.1 磁头分类</b>	250
<b>7.2 体型磁头</b>	251
7.2.1 叠层合金磁芯磁头	251
7.2.2 铁氧体磁头	256
<b>7.3 薄膜磁头</b>	263
7.3.1 薄膜磁头的优缺点	263
7.3.2 用于硬盘的薄膜磁头	266
7.3.3 用于磁带的薄膜磁头	277
<b>7.4 MIG 磁头</b>	279
<b>7.5 磁阻磁头和双元件磁头</b>	282
<b>7.6 垂直磁记录磁头发展现状</b>	289
7.6.1 体型磁头	290
7.6.2 薄膜磁头	292
7.6.3 组合头	296
<b>7.7 磁头材料</b>	297
7.7.1 磁性、电气和机械方面的性能要求	297
7.7.2 体型磁头材料	299
7.7.3 薄膜磁头材料	304
<b>7.8 磁头测试</b>	307

# 1.

## 概 论

### 1.1 磁学基础

#### 1.1.1 物质的磁性

物体在外加磁场中磁化，其磁化强度  $M$  和磁场强度  $H$  的关系为  $M = \chi H$ 。从实用的观点出发，可以按照磁化率  $\chi$  的大小和符号将物质分类如下：

1. 抗磁性 磁化率  $\chi_d < 0$  的物质称为抗磁性物质。 $\chi_d$  不仅为负值，而且绝对值也很小，一般为  $10^{-5}$  数量级。抗磁性物质主要有惰性气体、众多的有机化合物、若干金属（如 Bi、Zn、Ag、Mg 等）和非金属（如 Si、P、S 等）。其磁化曲线为直线。

2. 顺磁性 磁化率  $\chi_p > 0$ ，但数值很小，仅显示微弱磁性的物质称为顺磁性物质。室温下  $\chi_p$  为  $10^{-3} \sim 10^{-6}$  数量级。具有顺磁性的物质很多，如典型的稀土金属和铁族元素的盐类等。有些顺磁性物质的  $\chi_p$  与温度  $T$  的关系服从居里定律：

$$\chi_p = \frac{C}{T}, \quad (1.1)$$

式中， $C$  为居里常数， $T$  为绝对温度。然而更多的顺磁性物质服从居里-外斯定律：

$$\chi_p = \frac{C}{T - T_s}, \quad (1.2)$$

式中  $T_c$  为临界温度，称为顺磁居里温度。

3. 反铁磁性 有一类物质，当温度高于临界值  $T_N$  时，服从居里-外斯定律，而当温度低于  $T_N$  时，磁化率不是继续增大，而是降低，并逐步趋于定值，因此在  $T_N$  处磁化率有极大值。 $T_N$  称为奈尔温度。这类物质称为反铁磁性物质，主要有过渡族元素的盐类及化合物，如  $MnO$ 、 $Cr_2O_3$ 、 $CoO$  等。

4. 铁磁性 与上述三种磁性截然不同，铁磁性物质在很小的磁场下就被磁化到饱和，不仅磁化率  $\chi$  大于零，而且数值大到  $10^1 \sim 10^6$  数量级。其磁化强度  $M$  与磁场强度  $H$  的关系为非线性的函数关系。铁磁性元素不多，到目前为止，纯元素只有九个，它们是三个  $3d$  金属——铁、钴、镍和六个  $4f$  金属——钆、铽、镝、钬、铒、铥。但具有铁磁性的化合物却有很多种。当铁磁性物质的温度比临界温度  $T_c$  高时，铁磁性将变为顺磁性，并服从居里-外斯定律，只是  $T_c$  为铁磁性物质的顺磁居里温度。几种典型铁磁性物质的  $T_c$  见表 1.1。

表 1.1

物质	Fe	Co	Ni	Gd	$T_c$	$D_y$	$H_0$	$E_r$	$T_m$
$T_c$ (K)	1043	1393	631	293	219	89	20	20	32

5. 亚铁磁性 具有亚铁磁性的物质，其宏观磁性与铁磁性相同，仅是磁化率的数量级稍低一些，大约为  $10^0 \sim 10^3$ 。众所周知的铁氧体，是典型的亚铁磁性物质。

### 1.1.2 铁磁性物质的磁化特性

铁磁性物质在磁记录中得到了广泛的应用。本节简要讨论铁磁性物质磁感应强度  $B$  (或磁化强度  $M$ ) 和外加磁场  $H$  之间的关系。

### 1. $B$ 和 $H$ 及其关系

$B$  和  $H$  都是矢量。在许多场合，确定磁场效应的是  $B$  而不是  $H$ ，只有在自由空间， $B$  和  $H$  始终平行，并可写为

$$B = \mu_0 H. \quad (1.3)$$

在磁介质中， $B$  和  $H$  之间的关系较复杂，两者不一定平行。在 SI 单位制中，有

$$B = \mu_0 (H + M), \quad (1.4)$$

$B$  的单位是 T 或  $W_b/m^2$ 。上式也可写成

$$B = \mu_0 H + B_i. \quad (1.5)$$

### 2. 磁化

磁体受磁场作用后将会感应出磁矩，处于磁化状态。磁化磁场一般指能使磁体感应出磁矩的外加磁场，它可以是直流磁场，也可以是交变或脉冲磁场。

在磁介质内部取一个宏观体积元  $\Delta V$ ，这个体积元内包含大量的磁偶极矩  $p_m$ ，用  $\sum p_m$  代表该体积元内所有磁偶极矩之和。定义磁化强度为

$$M = \frac{\sum p_m}{\Delta V}, \quad (1.6)$$

由上式可见，磁化强度为单位体积内具有的磁矩矢量和。 $M$  是一个矢量，单位为  $A/m$ ，它描述磁体被磁化的方向和强度。

### 3. 退磁场和退磁因子

磁介质被磁化后产生的磁化强度，对介质内的总磁场将发生影响。(1.4) 式中的  $H$ ，只有当磁介质是均匀且无限大时，才和无介质时的外加磁场相同，而在一般情况下，由于磁介质的磁化，不仅对磁感应强度  $B$  有贡献，而且将影响磁场强度  $H$ 。图 1.1(a) 为闭合环形磁芯，其中的  $H$  就等于外加

磁场。而对于图 1.1(b) 所示的有缺口的磁性圆环，磁化后在缺口处将出现表面磁极，这个表面磁极将在磁芯中产生一个与磁化强度相反的磁场，它起着削弱磁化的作用，通常称为退磁场，以  $H_d$  表示。当均匀磁化时， $H_d$  才是均匀的，它的数学表达式可写为

$$H_d = -NM, \quad (1.7)$$

式中， $N$  称为退磁因子，是个无量纲的比例常数，只与磁体的几何形状有关。

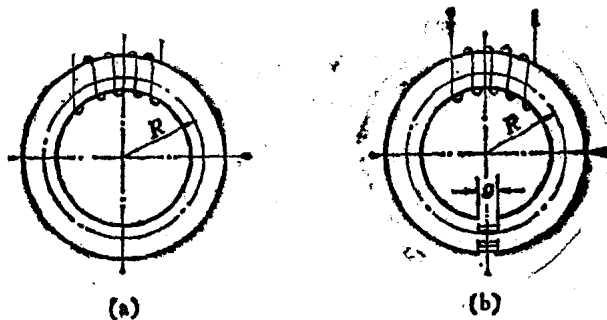


图 1.1

(a) 环形磁心，(b) 有缺口的环形磁心。

这时在磁芯内部真正起作用的磁场应该是磁化磁场  $H$  和退磁场  $H_d$  的矢量和。缺口环形磁芯的磁感应强度可写为

$$B_{\text{缺口}} = \mu_0(H - NM + M_{\text{缺口}}). \quad (1.8)$$

严格地说，只有当磁场均匀，被磁化物体形状为旋转椭球时， $H_d$  才是均匀的， $N$  变成常数，(1.8)式才能成立。现将实用价值较高的几种情况介绍如下：

(a) 沿细长椭圆体长轴方向磁化

设三个长半轴为  $a, b, c$ ,  $a > b = c$ ,  $k \equiv a/c$ ,

$$N = \frac{1}{k^2 - 1} \left\{ \frac{k}{\sqrt{k^2 - 1}} \ln(k + \sqrt{k^2 - 1}) - 1 \right\}, \quad (1.9)$$

若  $k \gg 1$

$$N \approx k^{-2} (\ln 2k - 1). \quad (1.10)$$

(b) 沿扁平旋转椭球体的平面进行磁化

设  $a = b > c, k \equiv a/c,$

$$N = \frac{1}{2} \left\{ \frac{k^2}{(k^2 - 1)^{3/2}} \arcsin \frac{\sqrt{k^2 - 1}}{k} - \frac{1}{k^2 - 1} \right\}. \quad (1.11)$$

对一般椭球体, 如果分别在三个主轴方向进行磁化, 其退磁因子  $N_a, N_b, N_c$  应满足

$$N_a + N_b + N_c = 1. \quad (1.12)$$

根据上式, 可得下述情况下的退磁因子:

球体

$$N_a = N_b = N_c = \frac{1}{3}; \quad (1.13)$$

圆柱(无限长) 在垂直于轴的方向磁化,

$$N_b = N_c = \frac{1}{2}, \quad N_a = 0; \quad (1.14)$$

平板 在垂直于平面方向上进行磁化,

$$N_a = N_b = 0, \quad N_c = 1. \quad (1.15)$$

对于磁记录而言, 自退磁场不能按(1.7)式进行计算。因为磁化区域(大小、形状) 和磁化状态  $M$  的分布在没有确定之前, 退磁因子不能确定, 其退磁场也无法计算。在“记录(写入)过程”一章中, 我们将详细介绍磁记录中退磁场的计算方法。

#### 4. 磁化曲线和磁化率

磁化强度  $M$  或磁感应强度  $B$  和磁场强度  $H$  之间的关

系，可以由磁化曲线（也称磁滞回线、 $B$ - $H$  曲线、 $M$ - $H$  曲线等）来描述。铁磁性物质的磁化曲线只能由实验方法测定。 $B$ - $H$  曲线和  $M$ - $H$  曲线形状相似，只是在趋于饱和阶段略有区别。 $M$ - $H$  曲线的饱和段几乎与  $H$  坐标轴平行，但  $B$ - $H$  曲线的饱和段，总以一定的斜率变化，这是由于在(1.4)或(1.5)式中  $B$  这个量还包含有  $H$  量的缘故。此外，剩余磁化强度  $M_r$  和剩余磁感应强度  $B_r$  都是在  $H = 0$  的情况下测得的，因此  $B_r = M_r$ ；而对矫顽力  $H_c$  而言， $B$ - $H$  曲线的矫顽力和  $M$ - $H$  曲线的矫顽力不同，可分别以  $bH_c$  和  $mH_c$  表示。

在铁磁性物质中， $M$  和  $H$  不一定呈平行关系，因此用磁化曲线表示  $M$  时，只要不预先说明，所指的  $M$  都是在  $H$  方向上的分量。此外，当  $H = 0$  时，大多数铁磁性物质的  $M$  不为零，因此要研究  $M$ - $H$  曲线，首先要使  $M$  等于零。使铁磁性物质  $M$  为零的方法有好几种。一种是将物质加热到居里温度以上，然后在没有磁场的情况下冷却，这称为热退磁法。另一种方法是把材料放在交变磁场中，逐步减小磁场振幅，直到零为止，这称为交流退磁法。此外还有形变退磁法等。

需要注意的问题是，铁磁性材料磁化时，正如上述，将在样品表面或内部产生磁荷而引起退磁场  $H_d$ ，因此样品内的有效磁场强度  $H_{eff}$  总是小于外磁场  $H_{ex}$ 。磁化曲线上所表示的  $H$  值，在任何情况下都是有效磁场  $H_{eff}$ ，而不是外磁场  $H_{ex}$ 。

现在根据图 1.2 来分析磁化过程。

从退磁状态开始，边增加磁场边测量磁化曲线所得的磁化曲线称为初始磁化曲线。

磁场  $H$  较小时， $M$  和  $H$  几乎成正比关系，并呈可逆变化，如图中  $OA$  段所示，称初始磁导率区域。在收音机、电

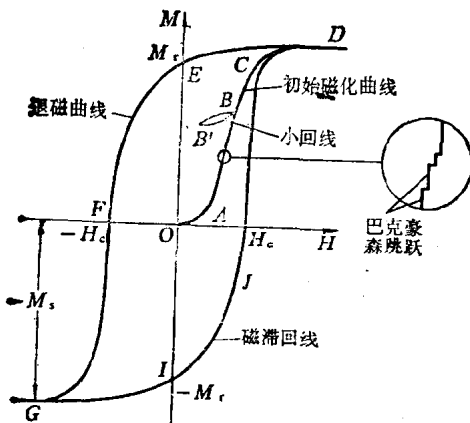


图 1.2 铁磁性物质的磁化曲线

视机中所采用的磁性材料部件（除变压器外）上所施加的磁场一般都很弱，它们的工作往往处于这个区域。磁记录中读出（或重放）磁头所接受到的来自记录介质上的磁场也很弱，因此也处于这个可逆区域，从而可将读出磁头作为线性元件处理，这将在“重放（读出）过程”一章中讨论。这部分磁化曲线的斜率  $\chi_i$  称为初始磁化率。在 SI 制中，由于

$$\begin{aligned} B &= \mu_0(H + M) = \mu_0(H + \chi H) \\ &= \mu_0(1 + \chi)H = \mu_0\mu H, \end{aligned}$$

因而有  $\mu = 1 + \chi$ 。在这个阶段中， $\mu_i$  称为初始磁导率，在磁记录中，它在很大程度上决定了磁头的读出幅度。

超过这个区域，随  $H$  的增加，由于大部分磁畴转向  $H$  方向， $M$  表现为不连续的急剧变化，如图中  $AC$  段所示。如果再减小  $H$ ， $M$  的变化是不可逆的，其变化按图中  $B \rightarrow B'$  路径进行，从  $B'$  点开始，如增加  $H$ ，将沿  $B' \rightarrow B$  所示路径返回  $B$  点。由  $B \rightarrow B' \rightarrow B$  这个微小磁场变化所引起的磁化强度改变

称为小回线。其中小回线  $BB'$  的斜率，即  $\Delta M / \Delta H$  称为增量磁化率或微分磁化率， $\Delta H \rightarrow 0$  的极限斜率

$$\chi_r = \lim_{\Delta H \rightarrow 0} (\Delta M / \Delta H),$$

称为可逆磁化率。这段曲线中磁化过程实际上是跳跃式的，称为巴克豪森效应。

$CD$  段，由于大部分磁畴已转向  $H$  方向，因而继续增加  $H$ ，只有少数磁畴继续转向， $M$  增加变慢，称为旋转磁化区域。

$D$  之后，由于所有磁畴几乎都已转向  $H$ ，因而当  $H$  再增加时， $M$  几乎不增加，称为饱和段。这时的  $M$  值，称为饱和磁化强度  $M_s$ 。在  $B-H$  曲线中，对应的  $B_s$  称为饱和磁感应强度。

从饱和点开始减小磁场，磁化强度的变化并不沿着初始磁化曲线进行。 $H=0$  的时候， $M$  不为零，出现剩余磁化强度  $M_r$ 。从这个状态开始在相反的方向上增加磁场，巴克豪森效应就会伴随发生，磁化强度急剧下降。当磁场强度为  $-H_c$  时， $M=0$ ， $H_c$  称为矫顽力。通常将第二象限中的磁化曲线部分，特称为退磁曲线。超过矫顽力值，继续在负方向增加磁场， $M$  的大小将在负方向急剧增加，然后再次达到饱和状态。从这种负的饱和状态开始，沿着正的方向增加磁场，这时磁化曲线将沿新的路径变化，如图 1.2  $GIJD$  所示。该  $GIJD$  曲线以原点  $O$  为对称点，同  $DEFG$  曲线对称。这种当独立变量增加或减小时，函数值沿不同路径变化所形成的曲线称为磁滞曲线。当曲线闭合时称为磁滞回线。磁滞回线的面积  $\oint H \cdot dM$  称为磁滞损耗，该损耗最终以热能形式损失。

按磁滞回线的形状不同，可将铁磁材料分为软磁性材料